

Омические контакты. При изгибе зон вниз (рис. 2) приконтактный слой имеет избыток электронов (*антизапорный слой, обогащённый слой*). Ввиду повышенной проводимости он не вносит заметный вклад в сопротивление длинного образца. Поэтому контакты с обогащённым слоем могут служить омич. контактами в полупроводниковых приборах.

При больших плотностях тока омич. поведение контактов нарушается из-за монополярной инжекции электронов, напр., из металла в полупроводник (см. *Инжекция носителей заряда в полупроводниках*). Инжекция становится заметной, если плотность тока

$$j \gg eDn/R_D, \quad (1)$$

где n — концентрация электронов основных носителей заряда в полупроводнике, D — их коэф. диффузии, R_D — дебаевский радиус экранирования, e — элементарный заряд. С ростом тока проводимость полупроводника всё более определяется инжектированными электронами,

рост концентрации к-рых ограничивается их объёмным зарядом (токи, ограниченные пространств. зарядом). В результате про-

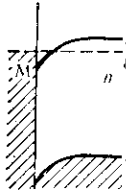


Рис. 2. Контакт с обогащённым (антизапорным) слоем.

водимость образца становится существенно нелинейной.

Электрич. сопротивление омич. контакта с обогащённым слоем увеличивается при наличии диэлектрич. прослойки Δ между металлом и полупроводником (напр., окисла металла, рис. 3). Из-за туннельной про-

ниаемости прослойки проводимость её при малых толщинах ($d \leq 20-30 \text{ \AA}$) становится прецережимо большой. В прослойке, а также на границе окисел—полупроводник, как правило, возникают центры захвата носителей заряда, поле к-рых наряду с полем контактной разности потенциалов управляет приконтактным изгибом зон, существенно изменения его величину, а иногда

Рис. 3. Контакт с обогащённым слоем и диэлектрическим зазором.

и знак (см. *MДII-структура*). Это приводит к нестабильности и невоспроизводимости омич. контактов метал-полупроводник.

Поэтому для создания омич. контактов часто предпочитают сильно легированные приконтактные области полупроводника, образующие с основным его объёмом

изотопный гомопереход, напр. $n^+ - n$ (рис. 4), где переход образован сильно (n^+) и слабо (n) легированными областями. Такой переход обладает теми же свойствами, что и контакт металл — полупроводник с антизапорным слоем. Свойства такого омич. контакта не зависят от изгиба зон непосредственно у металла.

Биполярные явления. Если в полупроводнике происходит генерация неосновных носителей, напр. дырок, или если они инжектируются в образец с помощью др. контакта, то возникают

т. н. биполярные контактные явления. Контакты с обогащённым слоем (рис. 2, 3, 4) обедняются дырками, ибо то электрич. поле, к-рое способствует обогащению электронами, выносит из слоя дырки. Электрич. поле тока в обогащённом слое мало по сравнению с электрич. полем в объёме. Поэтому ток дырок почти не проходит сквозь обогащённый слой. Если направление тока электронов таково, что дырки в поле этого тока движутся из объёма к контакту, то

из-за непропускания их слоем происходит их накопление перед контактом. Возникает т. н. *аккумуляционный слой, обогащённый дырками*, в к-рый для их нейтрализации из обогащённого слоя инжектируются электроны. С ростом плотности тока j через контакт толщина аккумуляционного слоя ($l_a = Dn/j$) убывает, а концентрация дырок в нём быстро растёт. Когда она достигает и превосходит равновесную концентрацию электронов, сжатие аккумуляционного слоя сменяется его расширением до размера длины *амбиополярной диффузии* за время жизни носителей.

При противоположном направлении тока поле выносит дырки в толщу полупроводника. Возникает э-с-к-лю-зия — удаление дырок от контакта; область э-с-клюзии простирается от контакта в глубь полупроводника на расстояние, растущее с ростом j и приближённо совпадающее с длиной дрейфа электронов в поле за время их жизни. Э-с-клюзия дырок сопровождается уходом такого же кол-ва электронов в контакт, так что область э-с-клюзии — область обеднения носителями обоих знаков. Макс. обеднение и наиб. значение электрич. поля достигаются на границе с обогащённым слоем. В образце с носителями обоих знаков, ограниченном с двух сторон омич. контактами для основных носителей, одновременно происходит э-с-клюзия у одного из контактов и аккумуляция у другого. При достаточно больших j область э-с-клюзии простирается на всю длину образца — вплоть до аккумуляционного слоя у др. контакта. В случае фотогенерации неосновных носителей говорят о токовом выносе фотонов из образца на один из контактов.

Контакты с обеднённым слоем (рис. 1) в равновесном случае обогащены неосновными носителями (поле, к-рое вытесняет осн. носители, втягивает неосновные). При прохождении тока в обратном направлении происходит *экстракция* (извлечение, вытягивание) в контакт неосновных носителей из приконтактной части образца, протяжённость к-рой определяется длиной диффузии неосновных носителей. Экстракция — слаботоковое явление на обратной ветви ВАХ, тогда как э-с-клюзия — сильнотоковый эффект. Эти эффекты смыкаются лишь в собственном полупроводнике. Экстракция неосновных носителей обратно смешённым обеднённым слоем используется в коллекторах биполярных транзисторов.

Если через контакт с обогащённым слоем пропускать ток в прямом направлении, происходит инжеция неосновных носителей из контакта. Заряд инжектированных носителей нейтрализуется зарядом осн. носителей, приходящих в область инжеции из объёма полупроводника или из др. контакта (напр., омич. контакта в диодах, базового контакта в транзисторах). При слабых токах область инжеции простирается, как и область экстракции, примерно на длину диффузии неосновных носителей. С ростом j эта область растягивается за счёт дрейфа носителей в поле большого прямого тока, охватывая постепенно весь образец.

Если экстракция неосновных носителей осуществляется любым обратно смешённым контактом с обеднённым ими слоем, то эффективная их инжеция возможна лишь при высокой эмиссионной способности контакта. В случае контакта металл — электронный полупроводник инжеция дырок достигается при столь большом изгибе зон вверх, что у металла валентная зона становится ближе к уровню Ферми E_F , чем зона проводимости (рис. 5), т. е. там образуется *инверсионный*

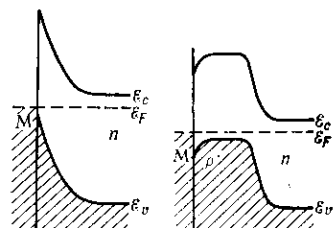


Рис. 5. Контакт с инверсионным слоем (с физическим $p-n-p$ -переходом).

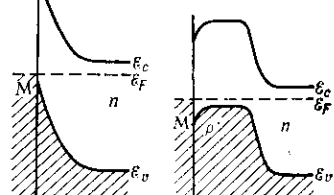


Рис. 6. Контакт с металлическим $p-n-p$ -переходом.